



## مطالعه مروی بر انواع نانو سامانه های هدفمند مغناطیسی حامل داروی دوکسوروبیسن و تاثیر آن ها بر مرگ سلول های سرطانی

\* محمد قنبری

گروه زیست شناسی، دانشکده علوم، دانشگاه محقق اردبیلی، اردبیل

حکیمہ

سرطان یکی از بیماری‌های مهلکی است که هنوز بشر عالرقم پیشرفت‌های زیاد قادر به کنترل آن نشده است. دوکسوروپیسین یکی از داروهای مرسومی است که در شیمی درمانی سرطان استفاده می‌شود و به دلیل تاثیر سیستمیک و سمیت بالا بر بافت‌های سالم بدن کاربرد آن با محدودیت روپرتوست. فناوری نانو با تولید نانو ذرات هدفمند مغناطیسی جهت رسانش مستقیم این دارو به سلول‌های سرطانی بسیاری از محدودیت‌ها و اثرات جانبی استفاده از آن را برداشته است. امروزه انواع نانو سامانه‌های هوشمند مغناطیسی بر اساس نانو ذرات اکسید آهن که انتقال هدفمند دوکسوروپیسین به بافت تومور را میسر می‌سازند توسعه پیدا کرده اند و قابلیت هدفمند سازی هر یک از این سامانه‌های دارویی توسط لیگاندهای هدفمند مولکولی مختص سلول‌های سرطانی و نیز بکارگیری میدان مغناطیسی خارجی جهت متمرکز کردن این نانو سامانه‌های مغناطیسی در مکان تومور فراهم شده است. مقاله حاضر پتانسیل نانوذرات اکسیدآهن را در طراحی نانوحامل‌های مغناطیسی جدید و هدفمند، برای انتقال و تقویت سمیت داروی دوکسوروپیسین به سلول‌های سرطانی را شرح می‌دهد.

**واژه‌های کلیدی:** دارو رسانی، دوکسوروبیسین، سرطان، نانو ذرات اکسید آهن

ایمیل نویسنده مسئول: mohamadghanbari60@yahoo.com

هدفگیری مغناطیسی دارو توسعه پیدا کرده است. این نانوذرات مرکب با استفاده از یک شیب میدان مغناطیسی که بر روی تومور متتمرکز می شود میتوانند در تومور تجمع پیدا کنند [۵]. نانوذرات اکسید آهن مثل مگنتیت ( $Fe_3O_4$ ) یا مگمیت ( $\gamma-Fe_2O_3$ ) در حال حاضر تنها نانومواد مغناطیسی اند که در پژوهشکی بالینی به عنوان عامل تباین در تصویربرداری MRI و به عنوان حامل در دارورسانی مورد استفاده قرار گرفته اند [۶]. نانوذرات مغناطیسی اکسید آهن به دلیل خصوصیات زیر مورد توجه پژوهشگران قرار گرفته اند: (۱) سهولت سنتز نانوذرات، (۲) مساحت سطح به حجم زیاد به دلیل داشتن ابعاد نانومتری، (۳) خاصیت سوپرپارامغناطیسی که باعث می شود این ذرات به میدان مغناطیسی خارجی پاسخ دهند و در غیاب میدان خارجی خاصیت مغناطیسی خود را از دست بدهند، (۴) امکان استخراج ساده و سریع گونه های مختلف تنها با به کارگیری یک میدان مغناطیسی خارجی، (۵) عدم نیاز به مراحل فیلتراسیون و سانتریفیوژ کردن در طی فرایند استخراج، (۶) توانایی استخراج از حجم زیاد نمونه ها (۷) امکان اصلاح سطح نانوذرات که باعث توانمندی در انتخاب گری می شود [۴، ۸].

۱- مقدمه دوکسوروپیسین (Dox) یک نوع آنتی بیوتیک از دسته‌ی آنتازایکلین‌ها و عامل آنتی نئوپلاستیک بسیار مؤثر می‌باشد که به صورت روتین در درمان انواع بد خیمی‌ها مانند لوسمی‌ها، سرطان تخمدان و بخصوص مراحل پیشرفته سرطان سینه مورد استفاده قرار می‌گیرد [۱]، این ترکیب توسط استرپتومایسین پیوستیوس واریته کاسیوس تولید می‌شود (جدول ۱). به دلیل وجود اثرات جانبی قوی ناشی از این دارو بخصوص آسیب رسانی به قلب و همچنین مقاومت سلولهای سرطانی نسبت به این دارو، پایداری کم در سیستم گردش خون، نفوذ دشوار در بافت ناهمگون تومورها و از بین رفتن دارو توسط آنزیم‌های تجزیه کننده درون بدن، کاربردهای بالینی این دارو بامحدودیت روبروست [۲، ۴۳]. همراه شدن دوکسوروپیسین با حاملهای دارورسان مانند لیپوزوم‌ها نشان داده است که به میزان قابل توجهی اثرات سمیت قلبی وابسته به دز را کاهش داده است [۳]. با هدفمند کردن داروها و انتقال مستقیم داروهای -ضدسرطانی به سایت تومور و تجمع آنها در ناحیه تومور می‌توان از بسیاری از اثرات جانبی ناخواسته دارو پیش‌گیری کرده و سمیت سلولی داروی ضد سرطانی را افزایش داد [۴]. اصول و روش‌های زیادی جهت هدفگیری داروها مورد ارزیابی قرار گرفته اند یکی از این روش‌ها از طریق همراه کردن دارو با نانوذرات مغناطیسی در

## ۲- ضرورت و اهمیت پژوهش سرطان

سرطان یکی از بیماری های مهلكی است که هنوز بشر- علارقم پیشرفت های زیاد قادر به کنترل آن نشده است. در حال حاضر درمان این بیماری با روش های شیمی درمانی و رادیوتراپی و استفاده از سلول های بنیادی (پیوند مغز استخوان) صورت می گیرد که خود این روش ها در مواقعي بدليل سمیت بیش از حد و عوارض جانبی بالا و طولانی بودن دوره درمان باعث مرگ اکثر بیماران می شود [۱۳]. از طرفی تشخیص زود هنگام این بیماری در مراحل اولیه جهت درمان به موقع حائز اهمیت بوده و موجب کنترل و اتخاذ روش درمانی مناسب و درمان قطعی این بیماری بیش از ظهور علائم بالینی آن خواهد شد [۱۴]. از جمله مشکلات اصلی که در درمان سرطان مطرح می باشد بحث دارورسانی هدفمند به ناحیه تومور می باشد که روش های درمانی مرسوم این ویژگی را نداشته و اکثر داروهایی که در شیمی درمانی مورد استفاده قرار می گیرند (مانند دوکسوروپیسین، متوتروکسات و سیتارابین)، به صورت آزاد و با دوزهای بالا به بدن تزریق شده به طوری که علاوه بر سلول های سرطانی، سلول های سالم را نیز می کشند و به بیمار آسیب می رسانند [۱۵]. اخیرا برای رفع این مشکل پژوهشگران به کمک فناوری نانو توانسته اند نانوذراتی را تولید کنند که توانایی حمل مواد دارویی را داشته و از آنها به عنوان نانوحامل در سیستم های نوین دارورسانی استفاده می کنند. استفاده از نانوذرات به عنوان حامل در دارورسانی باعث کاهش دوز مصرفی دارو شده و از این طریق موجب مؤثر واقع شدن درمان و کاهش عوارض جانبی آن می شود [۱۶]. با توجه به اینکه امروزه بیشتر داروها گران قیمت هستند، بررسی دقیق کارایی به تله اندازی دارو در حین پروسه ساخت اهمیت زیادی دارد. چون بیشتر فراورده های نانوذره ای کاربرد تزریقی دارند، بنابراین جنبه های ساخت آنها مانند خالص سازی و استریلیزاسیون اهمیت زیادی دارند تا اطمینان حاصل شود، این فراورده ها از لحاظ بیولوژیک برای بدن قابل تحمل هستند [۱۷]. پس پژوهش در زمینه سرطان و کشف روش های درمانی بهینه با فناوری نانو اهمیت زیادی را در عصر- حاضر در کشورمان داشته است. در ادامه مروری بر تحقیقات گذشته در خصوص روش ها و سنتر انواع نانو ذرات هدفمند مغناطیسی حامل داروی دوکسوروپیسین و نیز بررسی تاثیر این نانو ذرات در تقویت عملکرد ضد سرطانی این دارو را خواهیم داشت.

**۳- نمونه های اولیه نانو سامانه های دارویی هدفمند مغناطیسی بر پایه نانو ذرات اکسید آهن و دوکسوروپیسین**

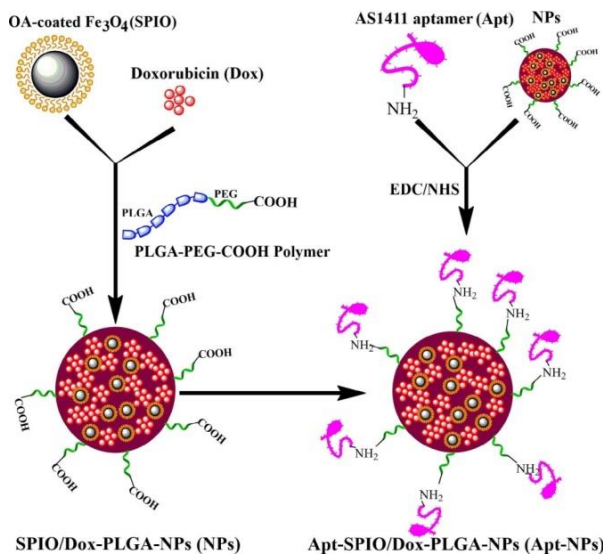
Benyettou و همکاران، نانو ذرات مزوپور اکسید آهن حاوی پوشش پلورونیک F108 حساس به گرمای و حامل دوکسوروپیسین را که قابلیت رهایش دوکسوروپیسین را در محل بیماری به دو صورت آهسته و انفجاری بسته به شرایط pH محیط و تابش گرما (هایپرترمیا) را دارند را سنتر کردند(شکل ۱). این نانو ذرات بارگذاری شده با دوکسوروپیسین، به میزان قابل توجهی بقاء سلول های سرطانی هلا را کاهش دادند و مشخص شد که تحت شرایط فیزیولوژیک پایدار بالایی داشته و این سیستم حساس به

## جدول ۱: اطلاعات مربوط به داروی دوکسوروپیسین [۷]

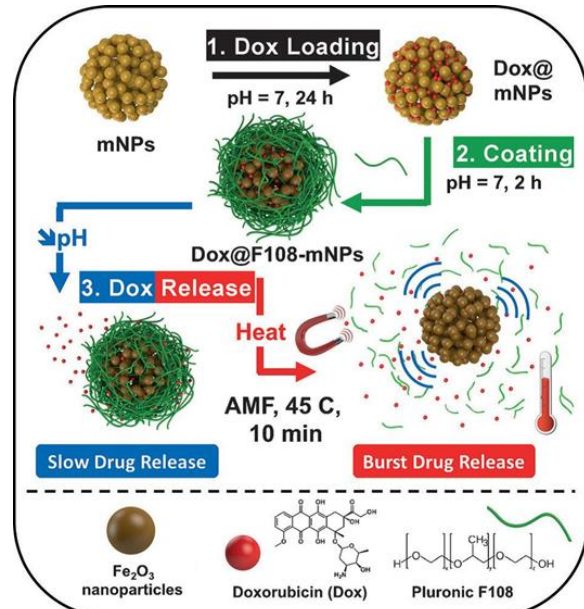
نام فارسی	دکسوروپیسین هیدروکلراید
نام انگلیسی	DOXORUBICIN HCL
نام تجاری دارو	Adriamycin
گروه دارویی	Antineoplastic
گروه شیمیابی دارو	گلیکوزید آنتراسایکلین
دوکسوروپیسین به نظر می رسد می رسد به اتصال به DNA و مهار ساخت DNA و RNA از طریق ایجاد اختلال در ساختمان مولکولی و ایجاد مانع فضایی، عمل می کند. با باند شدن به DNA باعث کاهش نسخه نویسی از روی آن و جدائی رشته ها از هم می گردد؛ در تمام چرخه سلول مؤثر است و آپوپتوزیز را القا می کند.	مکانیسم اثر
دوکسوروپیسین در درمان لوسی میلوبلاستیک حاد، کارسینومای سلول های بینایینی بیضه، پستانف نوروبلاستوم، تخدمان، تیروئید، تومور ویلمز، ریه (با منشاء نایزه ای)، معده، سر و گردن، کبد، گردن رحم، پروستات، آندومتر، بیضه، لنفوم های هوچکینی، سارکوم بافت های نرم و سارکوم استخوان مصرف می شود.	مواد مصرف
دوکسوروپیسین از سد خونی- مغزی عبور نمی کند. این دارو توسط کبد متابولیزه شده و به متابولیت فعال تبدیل می گردد. دفع آن عمده از طریق صfra است.	فارماکوکنیتیک

با قرار دادن پوشش ها و گروه های عاملی مختلف بر روی نانوذرات مغناطیسی می توان آنها را در زمینه های مختلف مانند دارورسانی، از بین بدن سلول های سرطانی، الکترونیک و دیگر زمینه ها به کار برد، این ذرات به راحتی تعزیز می شوند و بطور بالقوه برای انسانها غیرسمی هستند لذا در نانوپرشکی اهمیت زیادی دارند [۹]. آزمایش هایی که در طول چند سال بر روی نانوذرات اکسید آهن صورت گرفته است نشان می دهند که این ذرات هیچ گونه اثر سرمی فوری یا بلند مدت در شرایط *in vivo* ندارند [۱۰]. مشکل اساسی استفاده از ذرات در *in vivo* ذرات هیچ گونه اثر سرمی فوری یا بلند مدت در شرایط *in vivo* عناصر بیولوژیکی مثل پرتنین های پلاسمای روی سطح هیدروفوب ذرات است که باعث می شود ذرات سریع از گردش خون خارج شوند که با ایجاد پوشش های هیدروفیلی بر سطح نانوذرات، این مشکل را می توان بر طرف کرد [۱۱]. برای کاربردهای *in vivo* نانوذرات مغناطیسی حتما باید با یک پوشش زیست سازگار پوشانده شوند که عمل پوشش دهنی می تواند در حین سنتز یا پس از آن انجام شود. پوشش پلیمری از تشکیل توده های بزرگ جلوگیری می کند و از ذرات هنگامی که در معرض سیستم بیولوژیکی بدن قرار می گیرند محافظت می کند. پوشش پلیمری همچنین باعث اتصال داروها به سطح ذرات می شود [۱۲].

دما بوده و نیز از پتانسیل شیمی درمانی بالای برخوردار است [۱۸].



شکل ۲- فرمول نشان دهنده شماتیک فرایند تولید نانو ذرات مغناطیسی هدفمند شده با آپتامر. نانو ذرات عامل دار شده با گروه های کربوکسیل به صورت کووالان با گروه های NH<sub>2</sub> آپتامر جفت می شوند [۱۹].

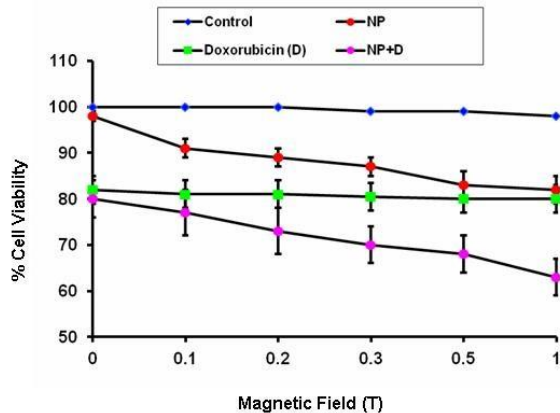


شکل ۱- شماتی از فرایند بارگذاری دوکسوسوروپیسین بر سطح نانو ذرات مزوپور اکسید آهن و پوشش دهی آن با پلی مر پلی اتیلن گلیکول (PEG) جهت استفاده در دارو رسانی انجماد دادند. آنها با استفاده از فرایند پلیمریزاسیون میکرومولسیون معکوس، نانوذرات پلیمری مغناطیسی را که مشکل از هسته مغناطیسی و پوسته پلیمری بود سنتز کنند. نانوذرات سوپرپارامغناطیسی اکسید آهن که سطح آن با PEG اصلاح شده بود با شکل و اندازه اختصاصی درون هسته آبی میسل های معکوس تهیه شدند. پوسته پلیمری خاصیت هیدروفیلی و تشکیل فلوبئید پایدار را برای نانوذرات ایجاد می کند. مطالعات فیزیکو شیمیایی مانند TEM و AFM نشان دادند که نانوذرات اصلاح شده با PEG ساختار مسافر و همکاران با یک روش اصلاح شده به نام "تبخیر حلال امولسیون چندگانه"، نانو ذرات مغناطیسی بارگیری شده با دوکسوسوروپیسین و هدفمند شده با لیگاند آپتامر AS1411 به عنوان عامل ترانوستیک جهت تصویر برداری و درمان هدفمند سلطان سنتز کردند (شکل ۲). این نانو ذرات با قطر ۱۳۰ نانومتر و با درصد بارگیری ۳٪ با دوکسوسوروپیسین تهیه شدند. نوکلئولین (Nucleolin)، با هدف قرار گرفتن توسط نانو ذرات هدفمند شده با آپتامر AS1411، موجب تسهیل انتقال نانو ذرات به تومور می شود، جفت شدن آپتامر با نانو ذرات در تقویت جذب سلولی دوکسوسوروپیسین به سلول های سرطانی C26 موثر است. همچنین نانو ذرات هدفمند شده با آپتامر، موجب افزایش سمیت سلولی دوکسوسوروپیسین علیه سلول های کارسینومای کولون C26 در مosh شده و در نتیجه افزایش بقاء جانور می شود [۱۹].

Gupta و wells در سال ۲۰۰۴ تحقیقی را بر روی سنتز نانوذرات سوپرپارامغناطیسی اکسید آهن و اصلاح سطح آن با پلی ملی اتیلن گلیکول (PEG) جهت استفاده در دارو رسانی انجماد دادند. آنها با استفاده از فرایند پلیمریزاسیون میکرومولسیون معکوس، نانوذرات پلیمری مغناطیسی را که مشکل از هسته مغناطیسی و پوسته پلیمری بود سنتز کنند. نانوذرات سوپرپارامغناطیسی اکسید آهن که سطح آن با PEG اصلاح شده بود با شکل و اندازه اختصاصی درون هسته آبی میسل های معکوس تهیه شدند. پوسته پلیمری خاصیت هیدروفیلی و تشکیل فلوبئید پایدار را برای نانوذرات ایجاد می کند. مطالعات فیزیکو شیمیایی مانند TEM و AFM نشان دادند که نانوذرات اصلاح شده با PEG ساختار

مشخص شد که نانوذرات مغناطیسی پوشش داده شده با PEG، غیر سمی اند (شکل ۳). دامنه غلظت های بکار رفته در این سنجش بین ۰ تا ۱۰۰۰ میکروگرم بر میلی لیتر بود. نتایج تست MTT نشان داد که درصد زنده مانی سلول ها در حالتی که با نانوذرات اصلاح شده با PEG به مدت ۲۴ ساعت تیمار شده بودند به میزان ۱۰ تا ۴۰ درصد (بسته به غلظت به کار رفته) نسبت به نمونه های کنترل که تیمار نشده بودند، افزایش داشت. حتی در غلظت ۱ mg/ml (میلی گرم بر میلی لیتر) بقاء سلول ها

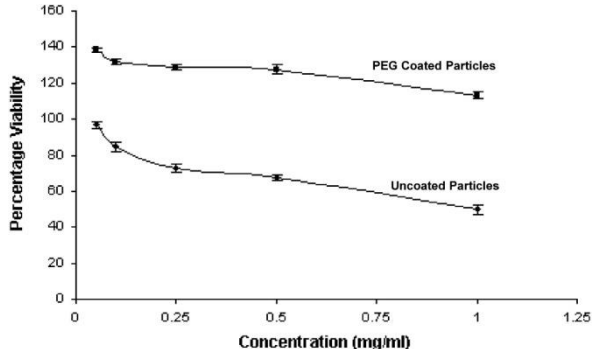
از طریق مکانیسم القاء مرگ برنامه ریزی شده سلول اتفاق می افتد [۲۱].



شکل ۴. اثر میدان مغناطیسی استاتیک بر سمیت سلولی القاء شده با دوکسوروبیسین، سلول های MCF7 به مدت ۷۲ ساعت قبل از تیمار با Dox، نانو ذرات و یا هر دو به صورت مرکب، در معرض میدان مغناطیسی استاتیک قرار گرفتهند سپس رشد سلول ها با روش سنجش آنالیز شد. گروه های کنترل با DMSO به تهایی تیمار شده اند [۲۱].

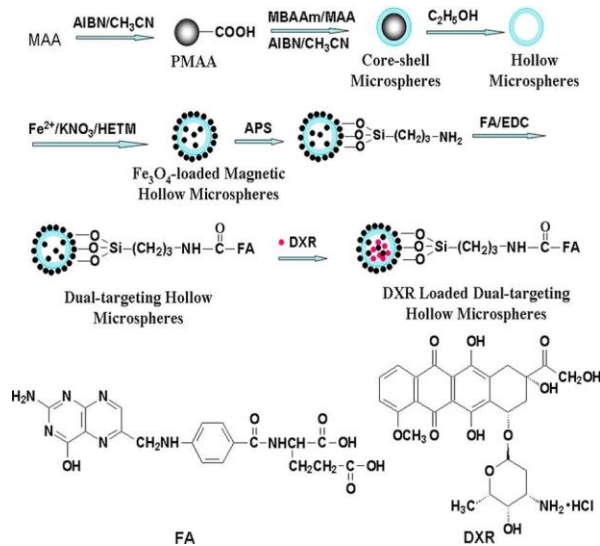
Gonzales و همکاران در سال ۲۰۱۰ نانوذرات اکسید آهن را با روش تجزیه گرمایی پیش سازه های آلی-فلزی جهت استفاده در MRI سنتر کردند (شکل ۵). نانوذرات حاصل از طریق ۲ روش Pluronic انتقال فاز خشک و انتقال فاز مرتبط با کوپلر مر F127 پوشانده شده و به فرم قابل حل در آب تبدیل شدند. شکل و اندازه ذرات با روش DLS و TEM اندازه گیری شد. تصاویر میکروسکوپ الکترونی نشان داد که قطر نانوذرات بدون پوشش، به اندازه ۹ nm است. داده های حاصل از DLS ثابت کرد که قطر هیدرودینامیکی نانوذرات قبل و بعد از پوشاندن با Pluronic به اندازه ۱۱/۳ nm و ۳۷ nm بود. در مجموع داده های حاصل از این دو روش نشان دادند که نانوذرات به شکل کروی و با اندازه واحد سنتز شده اند. قبل از ورود نانوذرات سنتز شده به فازهای بالینی و کاربردهای زیست پژوهی، سمیت سلولی نانوذرات را با روش های رنگ سنجی مانند MTT بر روی RDE ۲۶۴.۷ RAW سلولی تیمار شد. نتایج تست MTT بعد از ۲۴ ساعه به این گونه بود که نانوذراتی که با روش انتقال مرتبط سنتز شده و قابلیت پراکنده کی در محلول های آبی را داشتند در تمام غلظت های بکار رفته برای سلول ها سمی بودند به طوری که زنده مانی سلول ها در غلظت ۰/۰۶ mgFe/ml کمتر از ۱۰ درصد و در غلظت های بالاتر نزدیک به ۰ بود. اما بر عکس این حالت نتایج حاصل از تست MTT بر روی نانوذرات سنتز شده با روش انتقال خشک، زنده بودن سلول ها در همه غلظت های نانوذره را نشان می داد. این نتایج مؤید بی تاثیر بودن غلظت و نقش مؤثر روش انتقال فاز بر روی سمیت سلولی نانوذرات می باشد. نتیجه گیری کل کار این گروه تحقیقاتی این

بالای ۱۰۰ درصد بدست آمد اما بر عکس این حالت وقتی که سلول ها با نانوذرات فاقد پوشش تیمار شدند با افزایش غلظت از ۰ تا ۱ mg/ml به میزان قابل ملاحظه ای قابلیت زیستایی خود را از دست دادند به طوری که در غلظت های بالاتر از ۲۵۰ µg/ml به میزان ۵۰ تا ۲۵ درصد بقاء سلول ها کاهش داشت و در غلظت ۱ mg/ml میزان بقاء سلول ها ۵۰ درصد محاسبه شد. اما در غلظت های زیر ۲۵۰ µg/ml تغییر چندانی در فعالیت متابولیکی سلول ها در مقایسه با سلول های کنترل مشاهده نشد. نتیجه کلی این بود که نانوذرات اکسید آهن پوشیده شده با PEG قابلیت کاربردهای زیست پژوهی در شرایط *in vivo*, *in vitro* را دارد [۲۰].



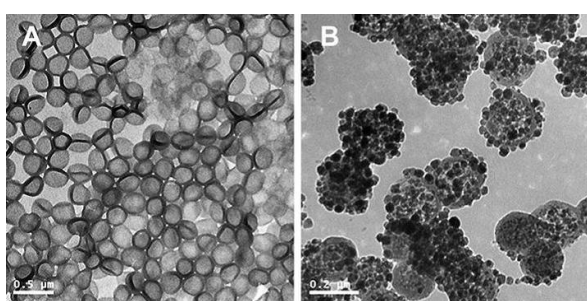
شکل ۳. پروفایل سمیت سلولی نانو ذرات در دو حالت فاقد پوشش و پوشیده شده با PEG که بر روی فیربلاست های انسانی و با سنجش MTT اندازه گیری شده است [۲۰].

Aljarrah و همکاران در سال ۲۰۱۲ تحقیقی را در مورد اثر نانوذرات  $\text{Fe}_2\text{O}_3$  و میدان مغناطیسی استاتیک (SMF) و همچنین اثر این دو به صورت مرکب، در تقویت عملکرد آپوپتویک داروی دوکسوروبیسین (Dox) علیه سلول های آدنوکارسینومای سینه (MCF7) بوسیله سنجش MTT انجام دادند. این سلول ها نسبت به درمان با Dox مقاومت نشان می دهند در این تحقیق سلول های MCF7 در ۴ حالت مختلف و به مدت ۷۲ ساعت با نانوذرات  $\text{Fe}_2\text{O}_3$  و Dox تیمار شدند (شکل ۴). در حالت اول سلول ها با نانوذرات  $\text{Fe}_2\text{O}_3$  به تهایی مورد Dox در غلظت  $1 \mu\text{M}$  تیمار شدند در حالت سوم سلول ها را با نانوذرات و Dox به صورت همزمان با هم تیمار کردند و در حالت چهارم همین تیمار را در حضور میدان مغناطیسی استاتیک (SMF) به اندازه ۱ Tسا لانجام دادند. درصد بقاء سلول ها بعد از تیمار در حالت های گفته شده، با تست MTT مورد ارزیابی قرار گرفت. نتایج تست MTT به این صورت بود که در حالت دوم و سوم اثر مهاری بر رشد سلول مشاهده نشد، در حالت دوم و سوم اثر مهاری بر رشد سلول به میزان ۲۰ درصد دیده شد. اما در حالت چهارم برخلاف دیگر حالت ها این اثر شدیدتر بود و به میزان ۵۰ درصد مشاهده شد. آزمایشات بیشتر نشان دادند که این اثر مهاری یا ضد تکثیری

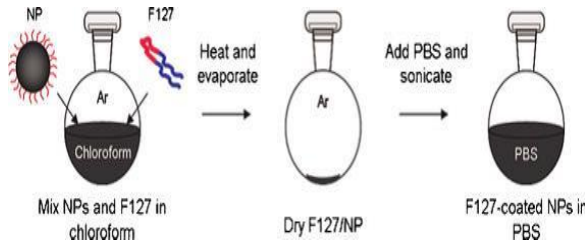


شکل ۶. بالا- شماتی از مراحل سنتز نانواسفرهای پلی مری/مغناطیسی و بارگیری آنها با داروی Dox. پایین- ساختارهای شیمیایی اسید فولیک (FA) و دوکسورووبیسین (Dox) [۲۳].

داده های حاصل از منحنی مغناطیسی پذیری و طیف های UV، FT-IR و تصاویر TEM نشان می دهند که میکروسferهای P(MBAAm-co-MAA) حاوی مگنتیت بوده و اندازه های واحد و خصوصیات مورفوژیکی خوبی را برای هدفگیری تومور دارا می باشند. نتایج حاصل از DLS نشان داد که اندازه متوسط میکروسferهای پلیمری/مغناطیسی ۴۵۱ nm است که این مقدار بیشتر از اندازه حاصل از مطالعات TEM (حدود ۲۰۰ nm) بود (شکل ۷). مغناطیسی پذیری اشعه و ریمنس مغناطیسی (مغناطیسی مانده) میکروسferهای پلی مری/مغناطیسی به ترتیب (۳۲/۵۲ emu<sup>-1</sup> و ۵/۵۶۲ emu<sup>-1</sup>) بدست آمد. ظرفیت یا گنجایش بارگذاری داروی Dox در غلظت (۲۳۰ µg/mL) بر روی میکروسferهای پلی مری/مغناطیسی (P(MBAAm-co-(MAA)@Fe<sub>3</sub>O<sub>4</sub>) به اندازه ۱۷۶ µg/mg و درصد کپسوله کردن دارو ۶۱% بود در حالی که رهایش دارو از حامل خود وابسته به مقادیر pH محیط بود. کل نتایج، مناسب بودن این روش را برای تهیه حامل های دارویی چند عملکردی برای درمان ترکیبی سرطان پیشنهاد می کند [۲۳].

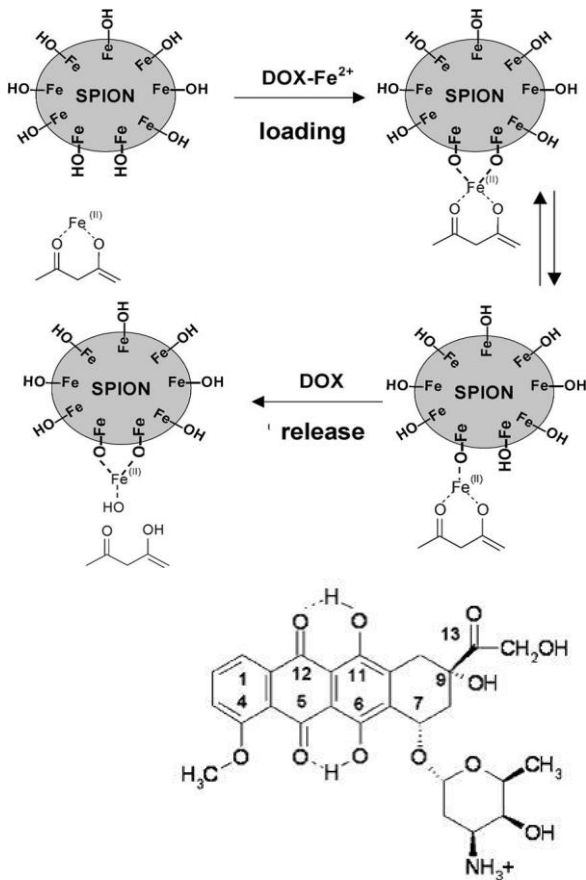


بود که خصوصیات نانوذرات سنتز شده از جمله شکل، اندازه، توزیع و سمیت سلولی، وابسته به روش سنتز آنها است [۲۲].



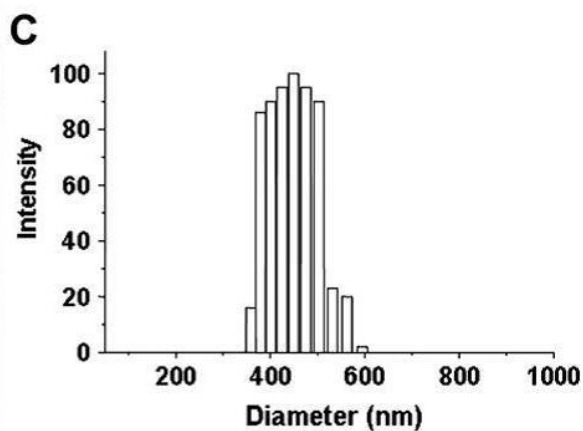
شکل ۵. فرایند انتقال فاز خشک، نانو ذرات اکسید آهن با F127 در کلروفرم مخلوط می شوند، کلروفرم در اتمسفر آرگون و در دمای ۵۵°C تبخر شده و نانو ذرات پوشیده شده با پلیورونیک با سونیکاپسیون مختصر در PBS به حالت تعلیق یا سوسپانسیون در آمدۀ اند [۲۲].

Yang و همکاران در سال ۲۰۱۰ میکروسferهای هدفمند دوگانه را به عنوان حامل دارو جهت بارگیری و رهایش هدفمند و کنترل شده داروی Dox (داروی ضد سرطانی مدل) طراحی و سنتز کردند. این میکروسferهای توخالی متشکل از پوسته پلیمری P(MBAAm-co-MAA) و همچنین نانوذرات مغناطیسی Fe<sub>3</sub>O<sub>4</sub> بودند که با دو روش تومور را مورد هدف قرار می دهند. یکی از طریق لیگاند مولکولی کوچک به نام اسیدفولیک که به طور اختصاصی به گیرنده خود در سطح سلول های سرطانی Fe<sub>3</sub>O<sub>4</sub> متصل می شود و دیگری از طریق نانوذرات مغناطیسی که به در عرض میدان مغناطیسی خارجی، متمرکز شدن نانوذرات به درون تومور صورت می گیرد. پس میکروسferها عملکرد دوگانه دارند. و دارای ویژگی حساسیت به pH اسیدی محیط هستند که از این ویژگی برای رهایش کنترل شده داروی Dox از میکروسferهای پلیمری/مغناطیسی به سلول های توموری که pH اسیدی دارند، استفاده می شود طریقه ساخت میکروسferهای پلیمری/مغناطیسی که P(MBAAm-co-MAA)@Fe<sub>3</sub>O<sub>4</sub> که پوسته ای و فاقد هسته بودند به این صورت انجام شد که ابتدا میکروسferهای پوسته ای/هسته ای (MAA) در دو مرحله سنتز شدند سپس با برداشت انتخابی هسته PMAA/P(MBAAm-co-MAA) از میکروسferهای پوسته ای/هسته ای، میکروسferهای توخالی (P(MBAAm-co-MAA) بدست آمد. سپس نانوذرات مغناطیسی Fe<sub>3</sub>O<sub>4</sub> بر روی سطح میکروسferها از طریق اکسیداسیون نسبی نمک فروس بواسطه پتانسیم نیترات به عنوان عامل اکسید کننده، مستقر شدند میکروسferهای پلیمری/مغناطیسی حاصل با گروه های -۳-آمینوپروپیل تری متوكسی سیلان (APS) عامل دار شدند و با اتصال شیمیایی اسیدفولیک به گروه های آمینوی (APS)، میکروسferهای هدفمند دوگانه سنتز شد کل مراحل سنتز میکروسferهای پلیمری/مغناطیسی در شکل ۶ به صورت شماتیک خلاصه شده است.. نتایج حاصل از کار این گروه تحقیقاتی به این صورت بود:



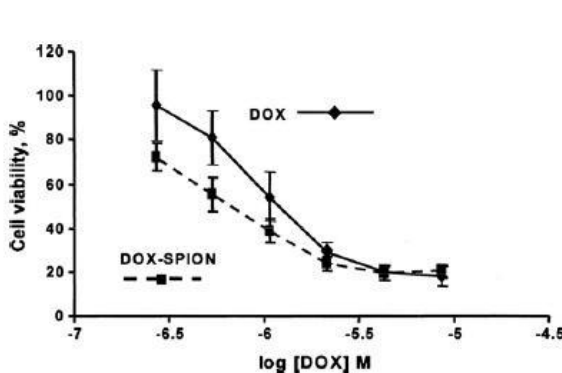
شکل ۸. دیاگرام شماتیک از اتصال  $\text{DOX-Fe}^{2+}$  به سطح SPION و رهایش از DOX (بالا) و ساختمن مولکولی دوکسوروپیسین (پایین). [۲۴].

میزان بارگذاری دارو به اندازه ۱۴٪ بدست آمد که به عنوان بیشترین مقدار از بین مقالات گزارش شده تا به امروز، شناخته شده است. رهایش Dox از نانوذرات شدیداً وابسته به pH محیط بوده، به طوری که مقدار رهایش در  $\text{pH}=7/4$  بعد از ۱ ساعت به ۸۵٪ رسیده است در حالی که رهایش در  $\text{pH}=4$  خیلی سریع روی می دهد. در هر دو pH داروی رها شده فاقد آهن است (شکل ۹). [۲۴].



شکل ۷. تصاویر TEM میکرواسفرهای توخالی- P(MBAAm-co-MAA) (A) و میکرواسفرهای مغناطیسی- P(MBAAm-co-MAA)@ $\text{Fe}_3\text{O}_4$  (B). گودار توزیع اندازه میکرواسفرهای مغناطیسی P(MBAAm-co-MAA)@ $\text{Fe}_3\text{O}_4$  در اتanol با روش (C) DLS .[۲۳]

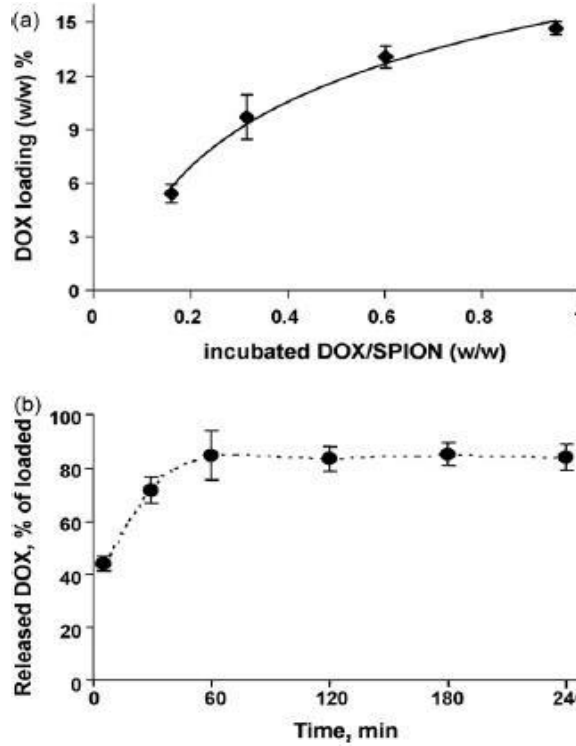
Munnier و همکاران در سال ۲۰۰۸ روش جدیدی را برای تجمع قابل برگشت داروی Dox با نانوذرات-سوپرپارامغناطیسی اکسید آهن (SPION)، در شیمی درمانی هدفمند مغناطیسی توسعه دادند. کارایی این روش با مطالعات بارگذاری دارو، کینتیک جذب و سمیت سلولی در *in vitro* مورد ارزیابی قرار گرفت. روش به این صورت بود که ابتدا سوسپانسیون آبی (SPION) که فروفلوئید نامیده می شود، از طریق رسوب همزمان کلریدهای فریک و فروس در محیط قلیایی و اکسیداسیون سطحی آن با نیترات فریک و تیمار سطحی با یون های سیترات، تهیه شد. سپس فروفلوئیدها با داروی Dox با استفاده از کمپلکس از پیش ساخته  $\text{DOX-Fe}^{2+}$  بارگذاری شدند در این روش ابتدا با جایگزین کردن هیدروژن در موقعیت ۱۱ مولکول دوکسوروپیسین (شکل ۸) با یون  $\text{Fe}(\text{II})$  کمپلکس های  $\text{Dox-Fe}(\text{II})$  تحت شرایط pH و غلظت  $\text{pH}$  کنترل شده تشکیل شد، سپس این کمپلکس ها تحت شرایط  $\text{pH}$  دما و زمان انکوباسیون کنترل شده در تماس با ذرات قرار گرفتند، در اینجا یون  $\text{Fe}(\text{II})$  نقش واسطه را در بین دوکسوروپیسین و سطح ذره با شلاته شدن از طریق Dox و گروه های هیدروکسیل موجود در سطح، تحت شرایط آزمایشی ایفا می کند [۲۴]. (شکل ۸).



شکل ۱۰. پروفایل فعالیت سمی سلولی نانو ذرات SPION بارگذاری شده با Dox در مقایسه با Dox آزاد یا محلول در شرایط برون تن، سلول های سرطانی MCF-7 به مدت ۲۴ ساعت تیمار شده اند، تفاوت ها از نظر آماری برای غلظت های  $M \leq 10^{-6}$  M (مولار) مهم اند [۲۴].

Munnier و همکاران در سال ۲۰۱۱ کار مشابهی را برای بررسی مکانیسم های عملکردی نانوذرات اکسیدآهن حامل Dox در شرایط *in vitro* بر روی سلول های MCF7 انجام دادند. سمتیت سلولی سوسپانسیون DOX-SPION و همچنین خود Dox در حالت محلول در غلظتهای مساوی بر روی سلول های MCF7 با تست MTT ارزیابی شد با توجه به ویژگی فلورسانس درونی Dox، توزیع داخل سلولی آن در حالت آزاد و بارگذاری شده بر روی نانوذرات اکسید آهن، با روش تصویربرداری طیفی کانفوکال مورد مطالعه قرار گرفت و مشخص شد که توزیع داخل سلولی دوکسوروپیسین آزاد با دوکسوروپیسین بارگذاری شده بر روی نانوذرات متفاوت است. دوکسوروپیسین در حالت آزاد در هسته متمرکز شده بود ولی در حالت بارگذاری شده توزیع سیتوپلاسمی را نشان می داد. در این تحقیق مشخص شد که مسیر ورود نانوذرات حامل Dox از مسیر ورود Dox آزاد متفاوت است این مسیر ورود جدید که احتمالاً از طریق اندوسیتوز صورت می گیرد موجب افزایش سمتیت سلولی نانوذرات می شود این اثر در بازه زمانی ۴ ساعته محسوس تر بود به طوری که در غلظت (M)  $8.6 \mu\text{M}$  نیمی از سلول ها در اثر تیمار با نانوذرات حامل Dox از بین رفته بودند در حالی که در همین غلظت Dox آزاد هیچ تاثیری بر روی بقاء سلول ها نداشت، نتایج حاکی از آن است که نانوذرات از طریق القاء استرس اکسیداتیو و آپوپتوزیز و مکانیسم های ناشناخته‌ی دیگری منجر به مرگ سلول می شوند [۲۵].

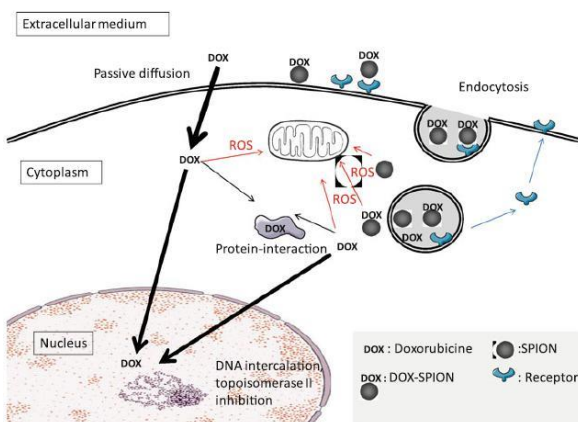
Naqvi و همکاران در سال ۲۰۱۰ تحقیقی را در رابطه با سنتز نانوذرات اکسید آهن و اصلاح سطح آن با Tween 80 و بررسی سمتیت سلولی آن با روش MTT منتشر کردند هدف این تحقیق بررسی تاثیر پارامترهای زمان و غلظت بر پتانسیل سمتیت سلولی نانوذرات و همچنین القاء فرایند استرس اکسیداتیو توسط نانوذرات بود. نتایج حاصل از TEM و اندازه گیری پتانسیل زتا نشان داد که نانوذرات اکسید آهن اصلاح شده با Tween 80 کروی شکل بوده و با اندازه ۱۵ تا ۳۰ نانومتر سنتز شده اند. نتایج



شکل ۹. اتصال کمپلکس  $\text{DOX}-\text{Fe}^{2+}$  به سطح نانو ذرات SPION  
-a- بارگذاری DOX در مقابل نسبت وزنی اولیه آزاد شدن دوکسوروپیسین از فروفلوئید SPION بارگیری شده با دارو در شرایط *in vitro* (بافر تریس در pH=7.۴)، [۲۴].

همچنین در این مطالعه اثرات زیستی داروی Dox در دو حالت آزاد و بارگذاری شده بر روی نانوذرات SPION در غلظت های مشابه و در شرایط *in vitro* مورد بررسی و مقایسه قرار گرفت اثرات زیستی داروی Dox در دو حالت گفته شده با اندازه گیری سمتیت سلولی آنها بر روی رده سلولی کارسینومای سینه (MCF7) طی تیمار ۲۴ ساعته از طریق تست MTT مورد ارزیابی قرار گرفت (شکل ۱۰). نتایج حاصل از تست MTT نشان داد که Dox در حالت بارگذاری شده اثر سمی قوی-تری نسبت به حالت آزاد دارد. این اثر در غلظت های پایین مشهود است اما در غلظت های بالا اثرات سمی مشابهی دارند. مقادیر IC50 برای Dox آزاد و Dox بارگذاری شده (DOX-SPION) به ترتیب  $1/2$  و  $7/7$  میکرو مولار بدست آمد. در این مطالعه همچنین اثرات سمی SPION و کمپلکس  $\text{DOX}-\text{Fe}^{2+}$  مورد بررسی قرار گرفت و مشخص شد که نانوذرات SPION به تنها اثر سمی بر روی سلول های MCF7 دارند و سمتیت کمپلکس  $\text{DOX}-\text{Fe}^{2+}$  مشابه Dox محلول بود. تحلیل نتایج فوق به این صورت بود که اثر سیتوکسیک قوی ذرات DOX-SPION به خاطر آزاد شدن داروی Dox بر روی غشاء سلولی یا ورود دارو بواسطه نانوذرات به درون سلول است [۲۴].

Dox آزاد است، نانوذرات حامل Dox احتمالاً از طریق مکانیسم اندوسیتوز وارد سلول می‌شوند و این مکانیسم شانس غلبه بر مقاومت سلول‌های سرطانی نسبت به داروی Dox را افزایش می‌دهد، چون این مکانیسم سریع و از طریق انتشار غیرفعال از میان غشاء اتفاق می‌افتد [۲۹، ۴۲]. نتایج مطالعات Munnier و همکاران نشان می‌دهد که نانوذرات اکسیدآهن مسیرهای ورود و توزیع داخل سلولی Dox به سلول‌های سرطانی را تغییر می‌دهند و همچنین مکانیسم‌های عملکردی بیشتری را جهت مهار آنزیم توپوایزومراز (II) اعمال می‌کنند. آنها در تحقیق دیگری که برای بررسی مکانیسم‌های عملکردی و توزیع و میانکش داخل سلولی Dox در حالت آزاد و بارگذاری شده بر روی نانوذرات سوپرپارامغناطیس اکسیدآهن (SPION) انجام دادند به این نتیجه رسیدند که توزیع داخل سلولی Dox در حالت آزاد و بارگذاری شده متفاوت است و سمیت Dox در حالت بارگذاری شده بیشتر از حالت آزاد دارو بود. غلظت Dox استفاده شده در هر دو حالت آزاد و بارگذاری شده بر روی نانوذرات هم اندازه بوده (۸/۶  $\mu\text{M}$ ) و تیمار ۲۴ و ۴۸ ساعت بر روی رده سلولی سرطانی MCF7 انجام شد. مشاهدات آنها این بود که در تیمار ۴ ساعته سوسپانسیون Dox-SPION، سمیت سلولی بیشتر نسبت به Dox آزاد، بر روی سلول‌های MCF7 دارد به طوری که درصد مرگ و میر سلول‌ها در حالت تیمار با ترکیب Dox-SPION نزدیک به ۴۰% می‌رسید در حالی که درصد میرایی سلول‌ها در حالت تیمار با Dox آزاد، تنها ۱۰% بود. این اثر صرف نمی‌تواند به غلظت داخل سلولی داروی آزاد شده نسبت داده شود. این در حالی بود که هر دو ترکیب با یک غلظت (۸/۶  $\mu\text{M}$ ) استفاده شده بودند. تغییر در توزیع داخل سلولی Dox در حالتی که بواسطه SPION انتقال یافته بود نشان می‌دهد که این سمیت سلولی بالا منشاء سیتوپلاسمی دارد [۲۵]. نتایج تحقیقات صورت گرفته، ورود نانوذرات اکسیدآهن حامل دوکسوروبیسین را از طریق مکانیسم اندوسیتوز که مکانیسم سریعی می‌باشد، مورد تایید قرار می‌دهد (شکل ۱۱). همچنین Dox به عنوان منشاء تولید ROS به خوبی شناخته شده است که این فرایند به عنوان مکانیسم ثانویه عملکرد دارو عمل می‌کند [۳۰].



تست MTT نشان میدهد که زنده مانی سلول‌های ماکروفالز مورین (774j) بعداز تیمار ۳ ساعته و در غلظت-های پایین ( $200-25 \mu\text{g/mL}$ )، بیشتر از ۹۵% می‌باشد در حالی که در غلظت‌های بالاتر ( $500-300 \mu\text{g/mL}$ ) و تیمار ۶ ساعت، زنده مانی سلول‌ها به ۵۵ تا ۶۵% کاهش یافت. سنجش آپوپتوز-نکروزیز با روش پروپیدیوم یداید و رنگ آمیزی-Hoechst 33342 انجام شد نتایج این سنجش نشان داد که اکثر سلول‌ها با مکانیسم آپوپتوز از بین رفته اند نتایج حاصل از سنجش H2DCFDDA مشخص کرد که با افزایش غلظت نانوذرات میزان تولید گونه‌های فعال اکسیژن (ROS) افزایش پیدا کرده که خود منجر به آسیب و مرگ سلول می‌شود [۲۶].

Kayal و Ramanujan در سال ۲۰۱۰ تحقیقی را در مورد سنتز نانوذرات اکسیدآهن جهت هدفگیری مغناطیسی دارو برای درمان ناحیه‌ای یا locoregional سرطان منتشر کردند. آنها نانوذرات اکسیدآهن را با روش رسوبگذاری همزممان اکسیدهای آهن سنتز کرده و سطح آن را با پلی وینیل الکل (PVA) پوشش دهی کردند. خصوصیات فیزیکوشیمیایی و مورفو洛ژیکی نانوذرات پوشیده شده با PVA با روش‌های TEM, TGA, FTIR, XRD و VSM مورد بررسی قرار گرفت. نتایج نشان داد که هسته مغناطیسی حامل‌ها که همان مگنتیت یا ( $\text{Fe}_3\text{O}_4$ ) می‌باشد، به اندازه ۱۰ نانومتر بود. مغناطیس سنجی گونه ارتعاشی در دمای اتفاق نشان داد که ذرات رفتار سوپرپارامغناطیسی دارند. اتصال PVA به نانوذرات با FT-IR تایید شد و مقدار اتصال PVA به نانوذرات با آنالیز تجزیه وزنی (TGA) بدست آمد در ادامه فرایند بارگذاری و رهایش داروی Dox بر روی نانوذرات اکسیدآهن پوشش داده شده با PVA مورد بررسی قرار گرفت. طیف FT-IR اتصال Dox به نانوذرات پوشیده شده با PVA را تایید می‌کند. نتایج نشان داد که میزان رهایش دارو از حامل خود طی ۸۰ ساعت ۴۵% می‌باشد، یعنی از ۱۰۰% داروی جذب شده آن آزاد شده بود. رهایش دارو تابع فرایند کنترل شده Fickian بود. نتیجه کلی از این تحقیق این بود که نانوذرات اصلاح شده با PVA و بارگیری شده با Dox پتانسیل بالایی را در هدفگیری مغناطیسی دارو دارند [۲۷].

**۴- اثرات بیولوژیکی ضد سرطانی نانو سامانه‌های هدفمند مغناطیسی بارگیری شده با دوکسوروبیسین**

Shen و همکاران در مطالعه‌ای که در مورد بررسی مقاومت سلول‌های سرطانی MDA-MB-435 نسبت به داروی Dox انجام دادند، دریافتند که یک ژن به نام MDR1 که توسط سلول‌های انسان کد می‌شود، عامل مقاومت سلول‌های سرطانی نسبت به داروی Dox است. این ژن یک نوع پرترین ترانسپورتر غشائی به نام گلیکوپرtein P را کد می‌کند که نقش پمپاژ کردن دارو را به خارج از سلول ایفا می‌کند و همین عامل موجب مقاومت سلول‌ها نسبت به Dox می‌شود [۲۸]. بررسی‌ها نشان می‌دهند که سمیت زود هنگام نانوذرات اکسیدآهن حامل Dox ناشی از مسیر ورود و مکانیسم عملکردی متفاوت آنها نسبت به

هسته شناسایی نشد. با این وجود این کانژوگه ها برای لاین سلولی سرطان سینه (MDA-MB231) سمی بودند. این مطالعه نشان می دهد که میزان تولید ROS بعد از تیمار با مولکول های کانژوگه Dox-cpp به اندازه کافی بالا می رود تا آپوپتوزیز را القاء کند [۳۶].

#### ۵- نتیجه گیری

طبق مطالعات و نتایج بدست آمده در این مقاله می توان نتیجه گرفت که هدفمند کردن نانوذرات مغناطیسی اکسید آهن با لیگاند های مولکولی مختلف و نیز همراه شدن این نانو ذرات با پوشش های پلی مری مخالفن موجب جذب و به دام اندازی داروی دوکسوروپیسین در سطح این نانو ذرات شده و نیز موجب تمثیر و انتقال بالای این دارو به سلول های سرطانی می شود [۷، ۳۷]. همچنین پایداری و زیست سازگاری نانوذرات با ملاحظه ای در قطعه قطعه شدن DNA در مرحله G1 مشاهده شد. نتایج نشان می دهد که این تیمار، نقش مهمی در حساس کردن سلول های سرطانی نسبت به القاء مرگ آپوپتویک سلول ها با داروی دوکسوروپیسین دارد. این محققین به این نتیجه رسیدند که میدان مغناطیسی استاتیک (SMF) به تهایی قادر به القاء مرگ سلول سرطانی نیست. میدان مغناطیسی استاتیک تنها در حضور نانوذرات اکسید آهن و Dox، موجب مهار رشد سلول ها می شود. پتانسیل آپوپتویک میدان مغناطیسی استاتیک، به دلیل توانایی آن در القاء تغییر شکل سلول می باشد [۲۱]. علاوه بر استرس اکسیداتیو که توسط نانوذرات اکسید آهن القا شده است، این تاثیر ممکن است موجب وارد شدن استرس فیزیکی از طریق تغییر در سطوح داخل سلولی کلیسم شود این تغییر موجب القاء پاسخ پرتین تا نخورد (UPR) در سلول می شود این پاسخ موجب افزایش تجمع پرتین های تاخورده یا بد تاخورده در سلول می شود. تداوم در پاسخ UPR در حضور دوکسوروپیسین و نانوذرات اکسید آهن موجب مرگ سلول از طریق القاء استرس شبکه آندوپلاسمی (ER) خواهد شد [۴۱، ۳۱]. مکانیسم دیگری که برای مرگ سلول پیشنهاد شده است این است که SMF ممکن است موجب مهار فرایندهای ترمیم آسیب DNA شود. بنابراین آسیبی که به DNA توسط مهارکننده توپوایزومراز (I) یعنی دوکسوروپیسین، وارد شده بود ترمیم نشده و سلول ها خودکشی خواهند کرد [۳۱]. تشکلات سلولی مختلفی مانند کربوهیدرات ها، لیپیدها و اسیدهای نوکلئیک ممکن است به خاطر افزایش سطوح گونه های فعال اکسیژن (ROS) آسیب بینند این افزایش در سطوح ROS ممکن است موجب القاء تخریب برگشت ناپذیر DNA شود [۳۲]. ROS در افزایش نفوذپذیری غشاء سلولی در سلول های اندوتیال نقش ایفا می کند [۳۳]. جدیدا گزارش شده است که نانو ذرات مرکب اکسید آهن/کبات می توانند آپوپتوزیز سلولی را در رده سلولی سرطانی کبد انسانی (HepG2) از طریق تولید ROS القاء کنند [۳۴]. و همکاران دریافتند که بعد از ورود نانوذرات مگنتیت به سلول های سرطانی ریه (A549) تولید ROS به طور چشمگیری افزایش می یابد [۳۵]. Aroui و همکاران در مطالعات خود پی برندند که Dox جفت شده با پپتیدهای نفوذکننده به سلول (cpp)، توزیع داخل سلولی متفاوتی در مقایسه با Dox آزاد دارد، در این توزیع، Dox در

شكل ۱۱: جذب نانوذرات را از طریق اندوسیتوز و همچنین توزیع و میانکش داخل سلولی Dox در حالت آزاد و بارگذاری شده بر روی نانوذرات اکسید آهن را به صورت شماتیک نشان می دهد [۲۵].

نتایج تحقیقات انجام شده توسط Aljarrah و همکاران نشان می دهد که نانوذرات اکسید آهن ( $Fe_2O_3$ ) به تهایی نمی توانند رشد سلول های MCF7 را مهار کنند، چون نانوذرات ( $Fe_2O_3$ ) به تهایی قادر به تولید ROS نیستند. Aljarrah و همکاران نتیجه گرفتند که با پیش تیمار سلول های MCF7 با نانوذرات  $Fe_2O_3$  و با قراردادن سلول ها در معرض میدان مغناطیسی استاتیک (SMF) قبل از این که سلول ها با Dox تیمار شوند، افزایش قابل ملاحظه ای در قطعه قطعه شدن DNA در مرحله G1 مشاهده شد. نتایج نشان می دهد که این تیمار، نقش مهمی در حساس کردن سلول های سرطانی نسبت به القاء مرگ آپوپتویک سلول ها با داروی دوکسوروپیسین دارد. این محققین به این نتیجه رسیدند که میدان مغناطیسی استاتیک (SMF) به تهایی قادر به القاء مرگ سلول سرطانی نیست. میدان مغناطیسی استاتیک تنها در حضور نانوذرات اکسید آهن و Dox، موجب مهار رشد سلول ها می شود. پتانسیل آپوپتویک میدان مغناطیسی استاتیک، به دلیل توانایی آن در القاء تغییر شکل سلول می باشد [۲۱]. علاوه بر استرس اکسیداتیو که توسط نانوذرات اکسید آهن القا شده است، این تاثیر ممکن است موجب وارد شدن استرس فیزیکی از طریق تغییر در سطوح داخل سلولی کلیسم شود این تغییر موجب القاء پاسخ پرتین تا نخورد (UPR) در سلول می شود این پاسخ موجب افزایش تجمع پرتین های تاخورده یا بد تاخورده در سلول می شود. تداوم در پاسخ UPR در حضور دوکسوروپیسین و نانوذرات اکسید آهن موجب مرگ سلول از طریق القاء استرس شبکه آندوپلاسمی (ER) خواهد شد [۴۱، ۳۱]. مکانیسم دیگری که برای مرگ سلول پیشنهاد شده است این است که SMF ممکن است موجب مهار فرایندهای ترمیم آسیب DNA شود. بنابراین آسیبی که به DNA توسط مهارکننده توپوایزومراز (I) یعنی دوکسوروپیسین، وارد شده بود ترمیم نشده و سلول ها خودکشی خواهند کرد [۳۱]. تشکلات سلولی مختلفی مانند کربوهیدرات ها، لیپیدها و اسیدهای نوکلئیک ممکن است به خاطر افزایش سطوح گونه های فعال اکسیژن (ROS) آسیب بینند این افزایش در سطوح ROS ممکن است موجب القاء تخریب برگشت ناپذیر DNA شود [۳۲]. ROS در افزایش نفوذپذیری غشاء سلولی در سلول های اندوتیال نقش ایفا می کند [۳۳]. جدیدا گزارش شده است که نانو ذرات مرکب اکسید آهن/کبات می توانند آپوپتوزیز سلولی را در رده سلولی سرطانی کبد انسانی (HepG2) از طریق تولید ROS القاء کنند [۳۴]. و همکاران دریافتند که بعد از ورود نانوذرات مگنتیت به سلول های سرطانی ریه (A549) تولید ROS به طور چشمگیری افزایش می یابد [۳۵]. Aroui و همکاران در مطالعات خود پی برندند که Dox جفت شده با پپتیدهای نفوذکننده به سلول (cpp)، توزیع داخل سلولی متفاوتی در مقایسه با Dox آزاد دارد، در این توزیع، Dox در

#### ۶- منابع

1. Xing M, Yan F, Yu S and Shen P. Efficacy and cardiotoxicity of liposomal doxorubicin-based chemotherapy in advanced breast cancer: a meta-analysis of ten randomized controlled trials. *PloS one*, 10(7): e0133569, 2015.
2. Kibria G, Hatakeyama H, Sato Y and Harashima H. Anti-Tumor Effect via Passive Anti-angiogenesis of PEGylated Liposomes Encapsulating Doxorubicin in Drug Resistant Tumors. *International journal of pharmaceutics*, 2016.
3. Leonard R.C, Williams S, Tulpule A, Levine A.M, Oliveros S. Improving the therapeutic index of

13. Galluzzi L, Kroemer G. A four-lane highway to cancer. *Nature Reviews Molecular Cell Biology*, 2016.
14. Jain T.K, Richey J, Strand M, Leslie-Pelecky D.L, Flask C.A, Labhsetwar V. Magnetic nanoparticles with dual functional properties: Drug delivery and magnetic resonance imaging. *Biomaterials*. 29: 4012-4021, 2008.
15. Zuccala E. Chemotherapy: Clocking up resistance. *Nature Reviews Cancer*, 2016.
16. Wicki A, Witzigmann D, Balasubramanian V, Huwyler J. Nanomedicine in cancer therapy: challenges, opportunities, and clinical applications. *Journal of Controlled Release*, 200:138-157, 2015.
17. Xu R, Zhang G, Mai J, Deng X, Segura-Ibarra V, Wu S, Shen J, Liu H, Hu Z, Chen L and Huang Y. An injectable nanoparticle generator enhances delivery of cancer therapeutics. *Nature biotechnology*, 2016.
18. Benyettou F, Flores O, Alonso J, Ravaux F, Rezgui R, Jouiad M, Nehme SI, Parsapur RK, Olsen JC, Selvam P, Trabolsi A. Mesoporous  $\gamma$ -Iron Oxide Nanoparticles for Magnetically Triggered Release of Doxorubicin and Hyperthermia Treatment. *Chemistry-A European Journal*. 14;22(47):17020-8, 2016.
19. Mosafer J, Abnous K, Tafaghodi M, Mokhtarzadeh A, Ramezani M. In vitro and in vivo evaluation of anti-nucleolin-targeted magnetic PLGA nanoparticles loaded with doxorubicin as a theranostic agent for enhanced targeted cancer imaging and therapy. *European Journal of Pharmaceutics and Biopharmaceutics*. 30;113:60-74, 2017.
20. Gupta A.K, Wells S. Surface-modified superparamagnetic nanoparticles for drug delivery: preparation, characterization, and cytotoxicity studies. *IEEE transactions on nanobioscience*. 3: 66-73, 2004.
21. Aljarrah K, Mhaidat N.M, Al-Akhras M.A, Aldaher A.N, Albiss B, Aledealat K, Alsheyab F.M. Magnetic nanoparticles sensitize MCF-7 breast cancer cells to doxorubicin-induced apoptosis. *World Journal of Surgical Oncology*. 10: 62, 2012.
- anthracycline chemotherapy: focus on liposomal doxorubicin (Myocet). *Breast*, 18: 218-224, 2009.
4. Lühmann T, Meinel L. Nanotransporters for drug delivery. *Current opinion in biotechnology*, 39: 35-40, 2016.
5. Shevtsov M.A, Multhoff G. Recent developments of magnetic nanoparticles for theranostics of brain tumor. *Current drug metabolism*, 2016.
6. Cole A.J, Yang V.C, David A.E. Cancer theranostics: the rise of targeted magnetic nanoparticles. *Trends in biotechnology*. 29: 323-332, 2011.
7. Ghanbari M, Asadi A, Rostamzadeh S. Study of the Cytotoxicity Effect of Doxorubicin-loaded/Folic acid-Targeted Super Paramagnetic Iron Oxide Nanoparticles on AGS Cancer Cell Line. *J Nanomed Nanotechnol*, 7(368):2, 2016.
8. Hajba L, Guttman A. The use of magnetic nanoparticles in cancer theranostics: Toward handheld diagnostic devices. *Biotechnology advances*, 34(4): 354-361, 2016.
9. Masoudi A, Madaah Hosseini H.R, Seyed Reyhani S.M, Shokrgozar M.A, Oghabian M.A, Ahmadi R. Long-term investigation on the phase stability, magnetic behavior, toxicity, and MRI characteristics of superparamagnetic Fe/Fe-oxide core/shell nanoparticles. *International Journal of Pharmaceutics*. 439: 28-40, 2012.
10. McBain S.C, Yiu H.H, Dobson J. Magnetic nanoparticles for gene and drug delivery. *International Journal of Nanomedicine*. 3: 169-180, 2008.
11. Heidari Majd M, Asgari D, Barar J, Valizadeh H, Kafil V, Abadpour A, Moumivand E, Mojarrad J.S, Rashidi M.R, Coukos G, Omidi, Y. Tamoxifen loaded folic acid armed PEGylated magnetic nanoparticles for targeted imaging and therapy of cancer. *Colloids and Surfaces B: Biointerfaces*. 106: 117-125, 2013.
12. Cohen Y, Shoushan S.Y. Magnetic nanoparticles-based diagnostics and theranostics. *Current Opinion in Biotechnology*. 24: 672-681, 2013.

- pharmacologic developments in antitumor activity and cardiotoxicity. *Pharmacological Reviews*. 56: 185-229, 2004.
31. Mhaidat N.M, Alali F.Q, Matalqah S.M, Matalka II, Jaradat S.A, Al-Sawalha N.A, Thorne R.F. Inhibition of MEK sensitizes paclitaxel-induced apoptosis of human colorectal cancer cells by downregulation of GRP78. *Anticancer Drugs*. 20: 601-606, 2009.
32. Larochelle S. Oxidative damage: A pathway to stress. *Nature chemical biology*, 12(2), pp.53-53, 2016.
33. Apopa P.L, Qian Y, Shao R, Guo N.L, Schwegler-Berry D, Pacurari M, Porter D, Shi X, Vallyathan V, Castranova V, Flynn D.C. Iron oxide nanoparticles induce human microvascular endothelial cell permeability through reactive oxygen species production and microtubule remodeling. *Particle and Fibre Toxicology*. 6: 1, 2009.
34. Ahamed M, Akhtar M.J, Khan M.M, Alhadlaq H.A and Alshamsan A. Cobalt iron oxide nanoparticles induce cytotoxicity and regulate the apoptotic genes through ROS in human liver cells (HepG2). *Colloids and Surfaces B: Biointerfaces*, 148: 665-673, 2016.
35. Choi S.J, Oh J.M, Choy J.H. Toxicological effects of inorganic nanoparticles on human lung cancer A549 cells. *Journal of Inorganic Biochemistry*. 103: 463-471, 2009.
36. Aroui S, Brahim S, De Waard M, Breard J, Kenani A. Efficient induction of apoptosis by doxorubicin coupled to cell-penetrating peptides compared to unconjugated doxorubicin in the human breast cancer cell line MDA-MB 231. *Cancer Letters*. 285: 28-38, 2009a.
37. Netto C, Toma H.E, Andrade L.H. Superparamagnetic nanoparticles as versatile carriers and supporting materials for enzymes. *Journal of Molecular Catalysis B: Enzymatic*. 86: 71-92, 2012.
38. Yang Y, Guo Q, Peng J, Su J, Lu X, Zhao Y and Qian Z. Doxorubicin-Conjugated Heparin-Coated Superparamagnetic Iron Oxide Nanoparticles for Combined Anticancer Drug Delivery and Magnetic Resonance Imaging. *Journal of*
22. Gonzales M, Mitsumori L.M, Kushleika J.V, Rosenfeld M.E, Krishnan K.M. Cytotoxicity of iron oxide nanoparticles made from the thermal decomposition of organometallics and aqueous phase transfer with Pluronic F127. *Contrast Media and Molecular Imaging*. 5: 286-293, 2010.
23. Yang X, Chen L, Han B, Yang X, Duan H. Preparation of magnetite and tumor dual-targeting hollow polymer microspheres with pH-sensitivity for anticancer drug-carriers. *Polymer*. 51: 2533-2539, 2010.
24. Munnier E, Cohen-Jonathan S, Linassier C, Douziech-Eyrolles L, Marchais H, Souce M, Herve K, Dubois P, Chourpa I. Novel method of doxorubicin-SPION reversible association for magnetic drug targeting. *International Journal of Pharmaceutics*. 363: 170-176, 2008.
25. Munnier E, Cohen-Jonathan S, Herve' K, Linassier C, Souce' M, Dubois P, Chourpa I. Doxorubicin delivered to MCF-7 cancer cells by superparamagnetic iron oxide nanoparticles: effects on subcellular distribution and cytotoxicity. *Journal of Nanoparticle Research*. 13: 959-971, 2011.
26. Naqvi S, Samim M, Abdin M, Ahmed F.J, Maitra A, Prashant C, Dinda A.K. Concentration-dependent toxicity of iron oxide nanoparticles mediated by increased oxidative stress. *International Journal of Nanomedicine*. 5: 983-989, 2010.
27. Kayal S, Ramanujan R.V. Doxorubicin loaded PVA coated iron oxide nanoparticles for targeted drug delivery. *Materials Science and Engineering: C*. 30: 484-490, 2010.
28. Shen F, Chu S, Bence A.K, Bailey B, Xue X, Erickson P.A. Quantitation of doxorubicin uptake, efflux, and modulation of multidrug resistance (MDR) in MDR human cancer cells. *Journal of Pharmacology and Experimental Therapeutics*. 324:95-102, 2008.
29. Shen Y, Tang H, Zhan Y, Van Kirk E.A, Murdoch W.J. Degradable Poly(beta-amino ester) nanoparticles for cancer cytoplasmic drug delivery. *Nanomedicine : nanotechnology, biology, and medicine*. 5: 192-201, 2009.
30. Minotti G, Menna P, Salvatorelli E, Cairo G, Gianni L. Anthracyclines: molecular advances and

14. Thermogravimetric analyzer  
15. Multidrug resistance  
16. P-glycoprotein  
17. Physical stress  
18. Unfolded protein response (UPR)  
19. Endoplasmic reticulum stress
- Biomedical Nanotechnology, 12(11): 1963-1974, 2016.
39. Mallick N, Anwar M, Asfer M, Mehdi S.H, Rizvi M.M.A, Panda A.K, Talegaonkar S and Ahmad F.J. Chondroitin sulfate-capped superparamagnetic iron oxide nanoparticles as potential carriers of doxorubicin hydrochloride. Carbohydrate Polymers, 2016.
40. Wei H, Bruns O.T, Chen O and Bawendi M.G. NANOPARTICLES FOR MAGNETIC RESONANCE IMAGING APPLICATIONS. Massachusetts Institute of Technology, U.S. Patent 20,160,074,538, 2016.
41. Xu C, Sun S. New forms of superparamagnetic nanoparticles for biomedical applications. Advanced Drug Delivery Reviews. 65: 732-743, 2012.
42. Mahmoudi M, Simchi A, Imani M, Shokrgozar M.A, Milani A.S, Hafeli U.O, Stroeve P .A new approach for the in vitro identification of the cytotoxicity of superparamagnetic iron oxide nanoparticles. Colloids and Surfaces B: Biointerfaces. 75: 300-309, 2010.
43. Kearney A.S. Prodrugs and targeted drug delivery. Advanced Drug Delivery Reviews. 19: 225-239, 1996.
44. Gautier J, Allard-Vannier E, Munnier E, Souc M, Chourpa I. Recent advances in theranostic nanocarriers of doxorubicin based on iron oxide and gold nanoparticles. Journal of Controlled Release. 169: 48-61, 2013.

**-پ نوشت**

1. Doxorubicin= (Dox)
2. Poly(N,N0-methylenebisacrylamide-co-methacrylic acid)= P(MBAAm-co-MAA)
3. Poly(methacrylic acid) /poly(N,N0-methylenebisacrylamide-co-methacrylic acid)= PMAA/P(MBAAm-co-MAA)
4. Poly(methacrylic acid)= PMAA
5. Magnetic remanence
6. Confocal spectral imaging
7. Murine macrophage (J774) cells
8. Necrosis-apoptosis assay
9. Propidium iodide
10. Hoechst-33342 staining
11. H2DCFDDA assay
12. Reactive oxygen species (ROS)
13. Magnetic drug targeting